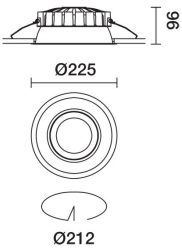
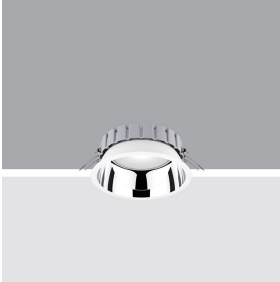


Letzte Aktualisierung der Informationen: März 2025

Produktkonfiguration: R465

R465: Ø 225 - 3000K - CRI80 - UGR<19 - INVERTER



Produktcode

R465: Ø 225 - 3000K - CRI80 - UGR<19 - INVERTER

Beschreibung

Festinstallierte Rundleuchte für den Einsatz von LED-Lichtquellen mit CoB-Technologie. Version mit Falz zur aufgesetzten Installation. Hochglänzender, aluminiumbedampfter Kunststoffreflektor mit kratzfester Schutzschicht. Wärmeableiter aus grau lackiertem Aluminiumdruckguss. Produkt komplett mit LEDs im Farbton Warm White 3000K und Mikrofilm für einen Lichtstrom von UGR<19 L<3000 cd/qm ideal für Flächen mit Bildschirmarbeitsplätzen. Leuchte komplett mit Inverter-Einheit für Notbeleuchtung.

Installation

Leichte Installation mittels Drehfedern in abgehängte Decken mit einer Stärke von 1 - 20 mm.

Farben

Weiß/Refll: Alu (39)

Gewicht (Kg)

1.68

Montage

Deckenanbauleuchte

Verkabelung

Leuchte komplett mit INVERTER für Notbeleuchtung

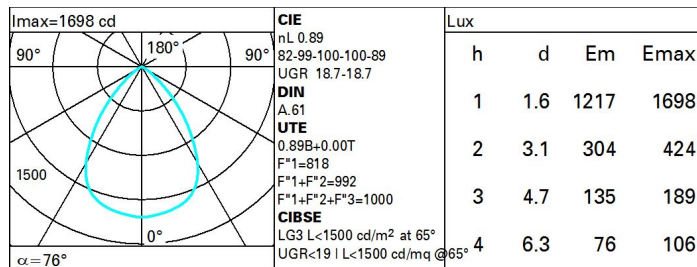
Gemäß der Normen EN60598-1 u. Sondernormen



Technische Daten

| | | | |
|---|-------|---------------------------------|---------------------------------|
| Im System: | 2403 | Farbtemperatur [K]: | 3000 |
| W System: | 22.7 | MacAdam Step: | 2 |
| Im Lichtquelle: | 2700 | Lebensdauer LED 1: | > 50,000h - L90 - B10 (Ta 25°C) |
| W Lichtquelle: | 16 | Lampencode: | LED |
| Lichtausbeute (lm/W, Systemwert): | 105.9 | Anzahl Lampen in Leuchtgehäuse: | 1 |
| Im im Notlichtbetrieb: | - | ZVEI-Code: | LED |
| abgegebener Lichtstrom bei/ über einem Winkel von 90° [lm]: | 0 | Anzahl Leuchtgehäuse: | 1 |
| Leuchtenbetriebswirkungsgrad 89 (L.O.R.) [%]: | | Control: | On/off |
| CRI (minimum): | 80 | | |

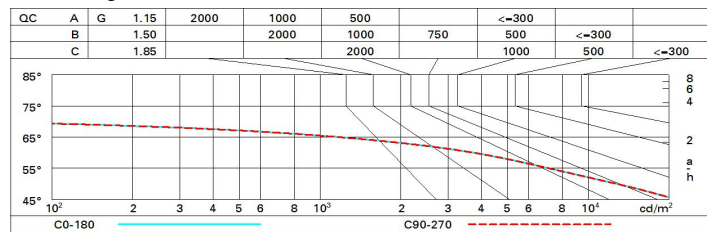
Polardiagramm



Wirkungsgrad

| R | 77 | 75 | 73 | 71 | 55 | 53 | 33 | 00 | DRR |
|------|----|----|----|----|----|----|----|----|-----|
| K0.8 | 73 | 67 | 63 | 59 | 66 | 62 | 62 | 58 | 65 |
| 1.0 | 78 | 72 | 68 | 66 | 71 | 68 | 67 | 63 | 71 |
| 1.5 | 84 | 80 | 77 | 74 | 79 | 76 | 75 | 72 | 81 |
| 2.0 | 88 | 85 | 82 | 80 | 83 | 81 | 80 | 77 | 87 |
| 2.5 | 90 | 87 | 86 | 84 | 86 | 84 | 83 | 80 | 90 |
| 3.0 | 91 | 89 | 88 | 86 | 88 | 86 | 85 | 82 | 93 |
| 4.0 | 93 | 91 | 90 | 89 | 89 | 88 | 87 | 84 | 95 |
| 5.0 | 93 | 92 | 91 | 90 | 90 | 90 | 88 | 85 | 96 |

Söllner-Diagramm



UGR-Diagramm

| Corrected UGR values (at 2700 lm bare lamp luminous flux) | | | | | | | | | | | |
|---|------|------------------|------|------|------|------|----------------|------|------|------|------|
| Reflect.: | | viewed crosswise | | | | | viewed endwise | | | | |
| ceiling/cav | | 0.70 | 0.70 | 0.50 | 0.50 | 0.30 | 0.70 | 0.70 | 0.50 | 0.50 | 0.30 |
| walls | | 0.50 | 0.30 | 0.50 | 0.30 | 0.30 | 0.50 | 0.30 | 0.50 | 0.30 | 0.30 |
| work pl. | | 0.20 | 0.20 | 0.20 | 0.20 | 0.20 | 0.20 | 0.20 | 0.20 | 0.20 | 0.20 |
| Room dim | | viewed crosswise | | | | | viewed endwise | | | | |
| x | y | | | | | | | | | | |
| 2H | 2H | 19.3 | 20.0 | 19.6 | 20.3 | 20.5 | 19.3 | 20.0 | 19.6 | 20.3 | 20.5 |
| | 3H | 19.1 | 19.8 | 19.4 | 20.1 | 20.4 | 19.2 | 19.9 | 19.5 | 20.2 | 20.4 |
| | 4H | 19.0 | 19.7 | 19.4 | 20.0 | 20.3 | 19.1 | 19.8 | 19.5 | 20.1 | 20.4 |
| | 6H | 19.0 | 19.6 | 19.3 | 19.9 | 20.2 | 19.0 | 19.6 | 19.4 | 19.9 | 20.3 |
| | 8H | 18.9 | 19.5 | 19.3 | 19.8 | 20.2 | 19.0 | 19.6 | 19.4 | 19.9 | 20.2 |
| | 12H | 18.9 | 19.4 | 19.3 | 19.8 | 20.1 | 19.0 | 19.5 | 19.3 | 19.8 | 20.2 |
| 4H | 2H | 19.1 | 19.8 | 19.5 | 20.1 | 20.4 | 19.0 | 19.7 | 19.4 | 20.0 | 20.3 |
| | 3H | 19.0 | 19.5 | 19.3 | 19.8 | 20.2 | 19.0 | 19.5 | 19.3 | 19.8 | 20.2 |
| | 4H | 18.9 | 19.4 | 19.3 | 19.7 | 20.1 | 18.9 | 19.4 | 19.3 | 19.7 | 20.1 |
| | 6H | 18.8 | 19.2 | 19.2 | 19.6 | 20.0 | 18.8 | 19.2 | 19.2 | 19.6 | 20.0 |
| | 8H | 18.7 | 19.1 | 19.2 | 19.5 | 20.0 | 18.7 | 19.1 | 19.2 | 19.5 | 20.0 |
| | 12H | 18.7 | 19.0 | 19.2 | 19.5 | 19.9 | 18.7 | 19.0 | 19.2 | 19.5 | 19.9 |
| 8H | 4H | 18.7 | 19.1 | 19.2 | 19.5 | 20.0 | 18.7 | 19.1 | 19.2 | 19.5 | 20.0 |
| | 6H | 18.7 | 19.0 | 19.1 | 19.4 | 19.9 | 18.7 | 19.0 | 19.1 | 19.4 | 19.9 |
| | 8H | 18.6 | 18.9 | 19.1 | 19.3 | 19.8 | 18.6 | 18.9 | 19.1 | 19.3 | 19.8 |
| | 12H | 18.6 | 18.8 | 19.1 | 19.3 | 19.8 | 18.6 | 18.8 | 19.1 | 19.3 | 19.8 |
| 12H | 4H | 18.7 | 19.0 | 19.2 | 19.5 | 19.9 | 18.7 | 19.0 | 19.2 | 19.5 | 19.9 |
| | 6H | 18.6 | 18.9 | 19.1 | 19.3 | 19.8 | 18.6 | 18.9 | 19.1 | 19.3 | 19.8 |
| | 8H | 18.6 | 18.8 | 19.1 | 19.3 | 19.8 | 18.6 | 18.8 | 19.1 | 19.3 | 19.8 |
| Variations with the observer position at spacing: | | | | | | | | | | | |
| S = | 1.0H | 2.0 / -4.8 | | | | | 2.0 / -4.8 | | | | |
| | 1.5H | 4.0 / -11.1 | | | | | 4.0 / -11.1 | | | | |
| | 2.0H | 5.9 / -24.0 | | | | | 5.9 / -24.0 | | | | |